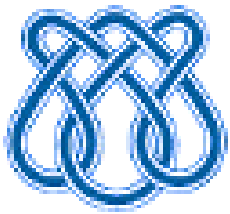


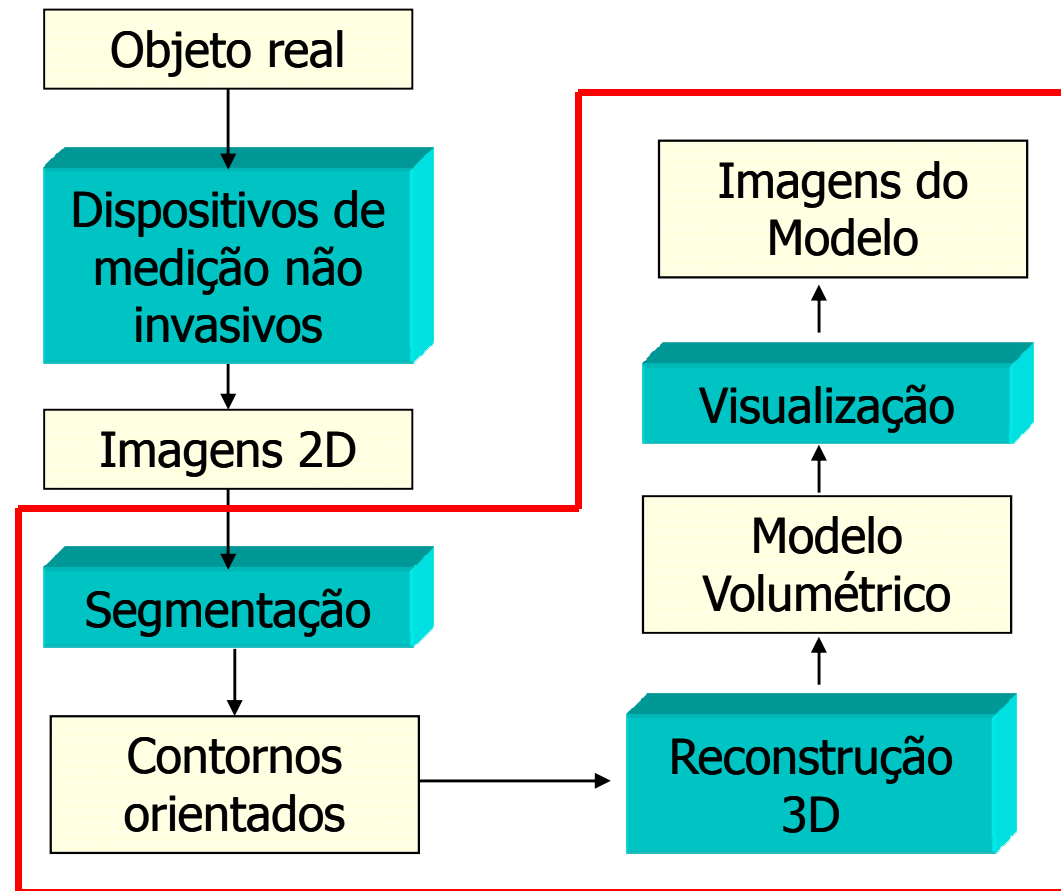
Reconstrução a partir de Seções Planares

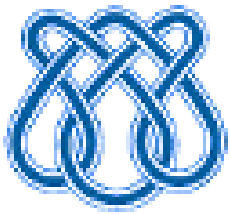
Instituto de Ciências Matemáticas e de Computação
Departamento de Computação e Estatística
VICG - USP - São Carlos

Luis Gustavo Nonato
Rosane Minghim
Maria Cristina F. de Oliveira
Antonio Castelo Filho
João E. S. Batista

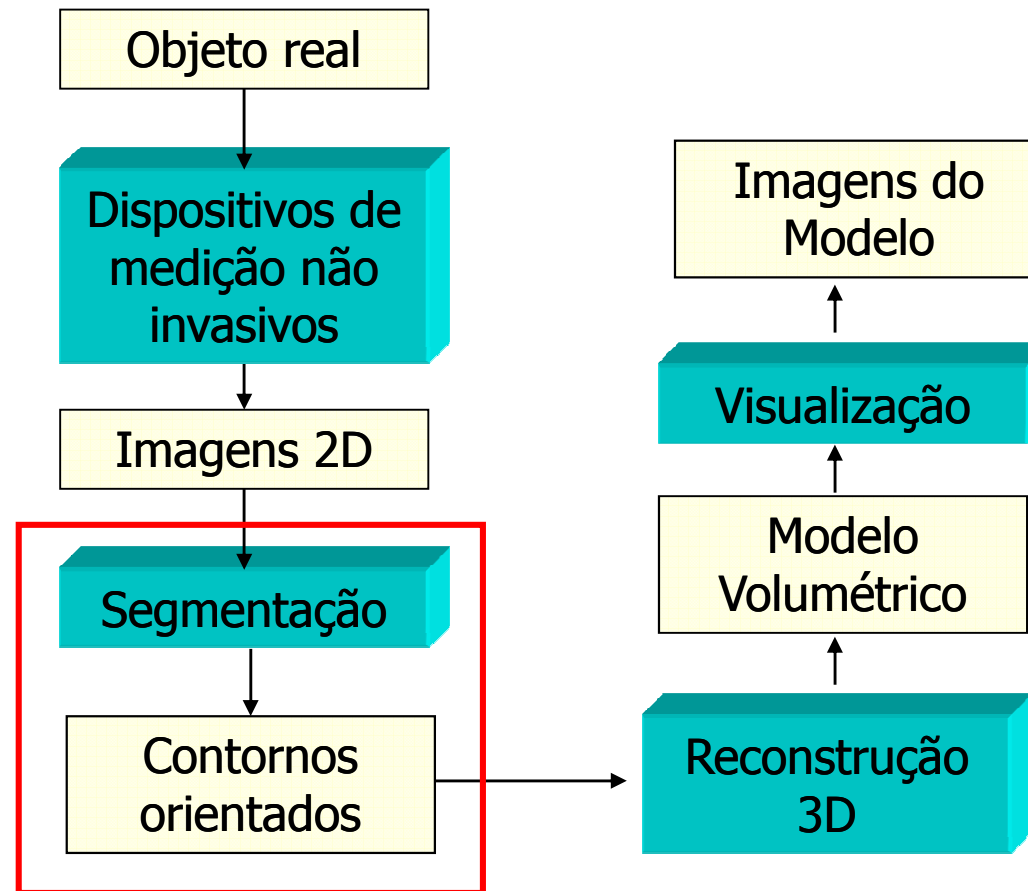


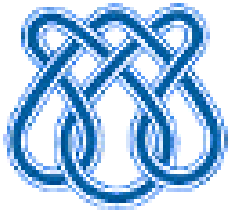
Reconstrução a partir de Seções Planares





Reconstrução a partir de Seções Planares





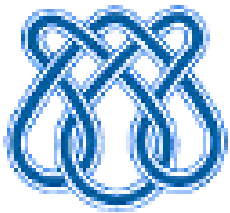
Segmentação e Geração de Contornos

Abordagem topológica baseada em crescimento de regiões:

Morse Operators for Digital Planar Surfaces and their application to Segmentation

Nonato, Castelo, Minghim, Batista

IEEE Transactions on Image Processing, jan. 2004



Segmentação e Geração de Contornos

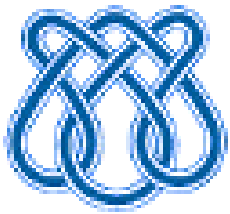
Abordagem topológica baseada em crescimento de regiões:

Vantagens:

- Controle da topologia durante a segmentação
- Pouco sensível a ruídos
- Obtenção dos contornos (orientados) de forma imediata

Desvantagens:

- Necessário fornecer “sementes” (semi-automáticas)
- Qualidade da segmentação depende das sementes



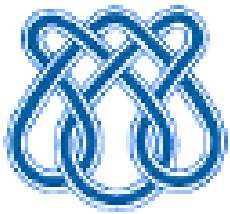
Segmentação e Geração de Contornos

Operadores de Morse:

5 classes de operadores:

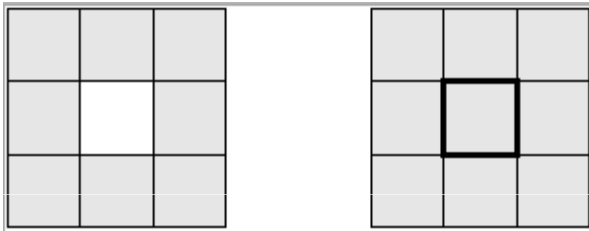
• (-1)-handle	
• 0-handle	
• 1-handle	
• 2-handle	
• 3-handle	

Teorema: Seja S um objeto com característica de Euler $\chi(S)$ e σ uma k -handle, então

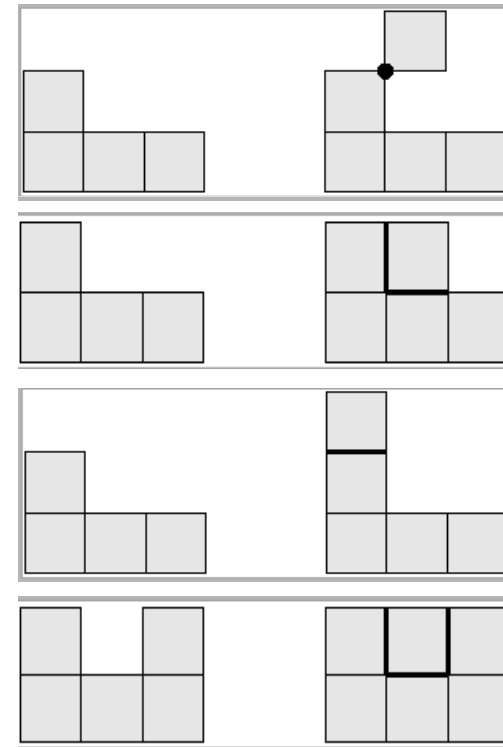


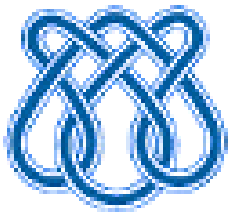
Segmentação e Geração de Contornos

- (-1) - handle



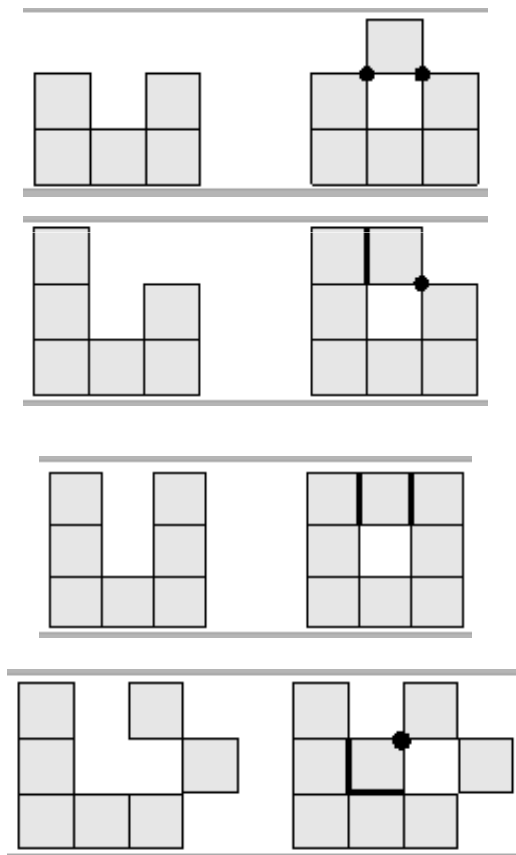
- 0 - handle



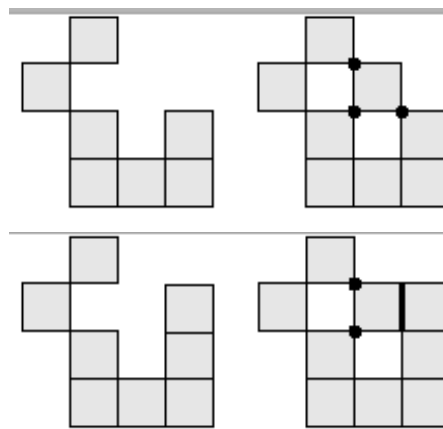


Segmentação e Geração de Contornos

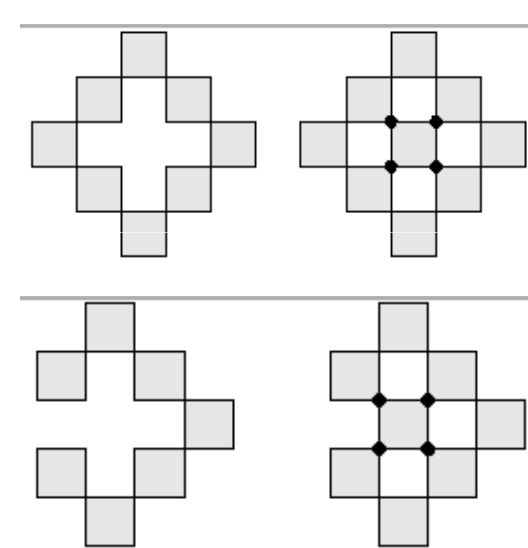
• 1 - handle

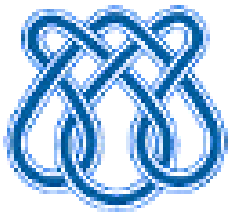


• 2 - handle

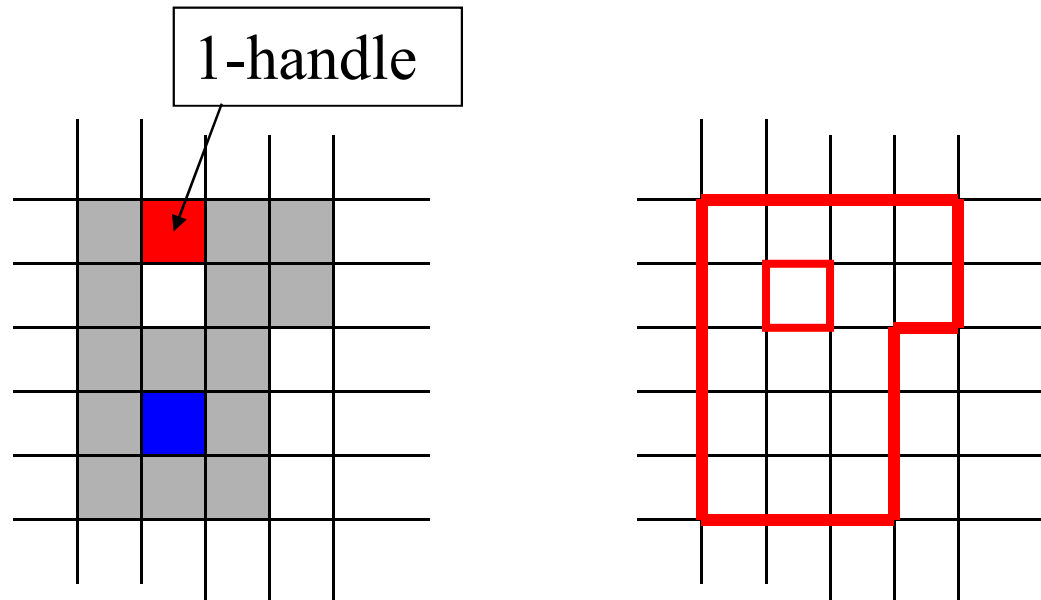


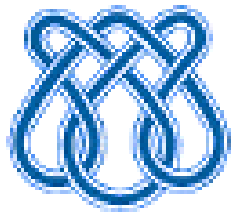
• 3 - handle



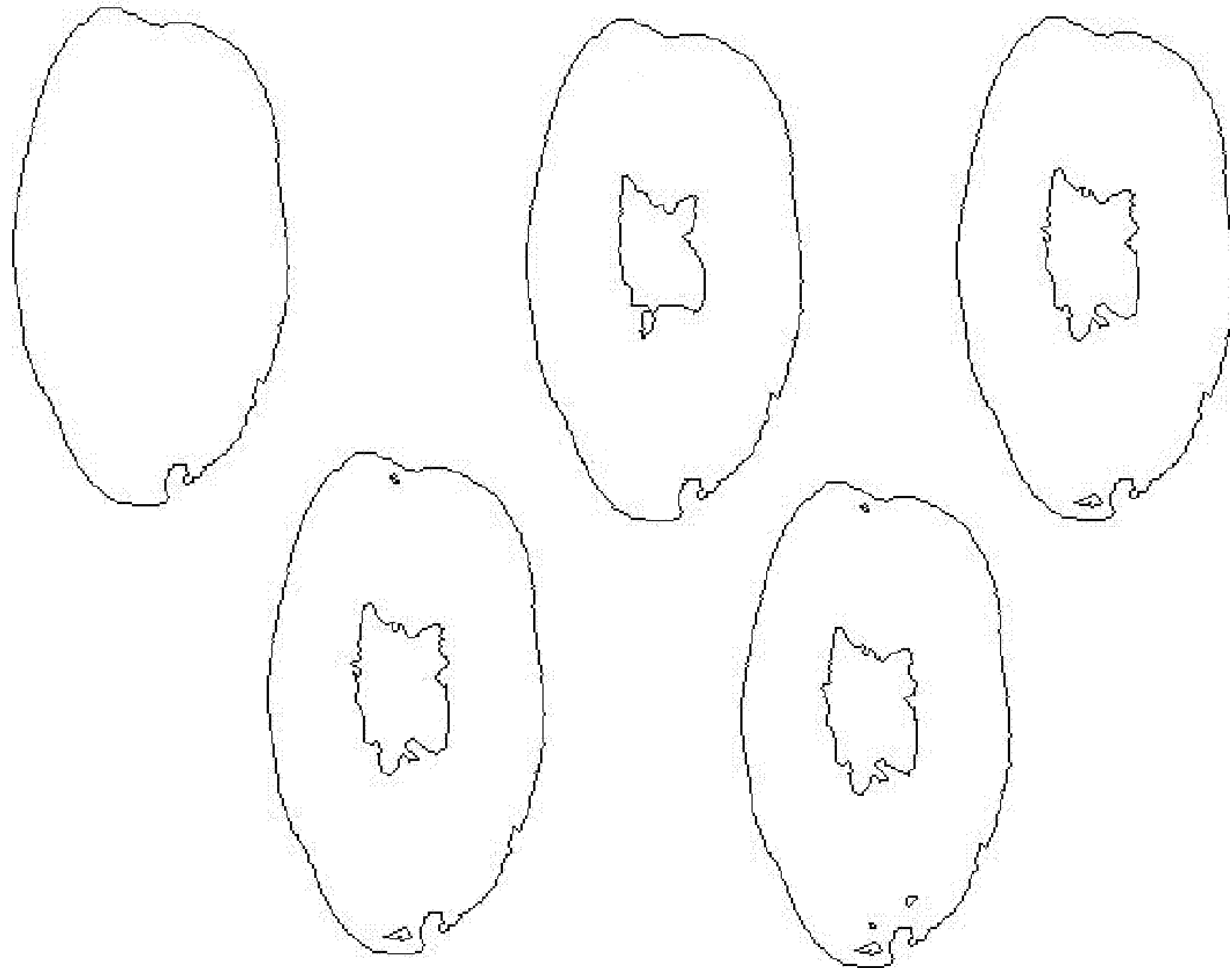
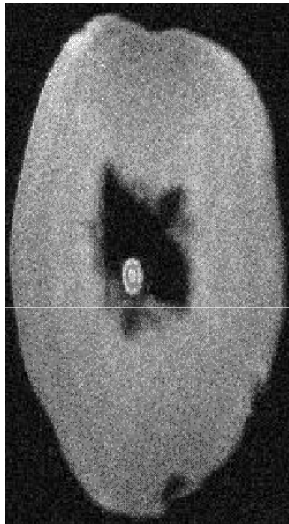


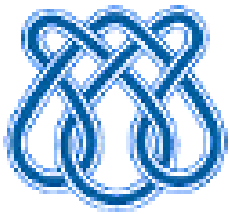
Segmentação e Geração de Contornos





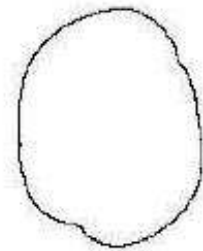
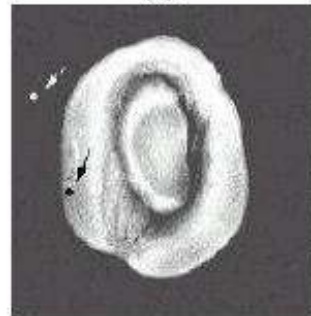
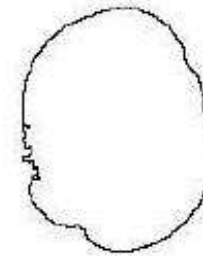
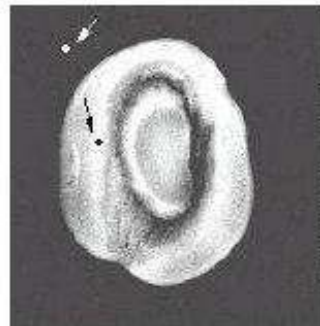
Segmentação e Geração de Contornos





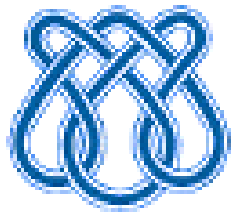
Segmentação e Geração de Contornos

ESCOLHA DAS SEMENTES



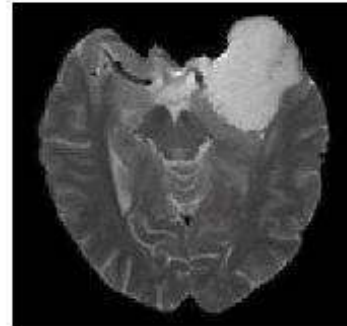
(d)

(e)

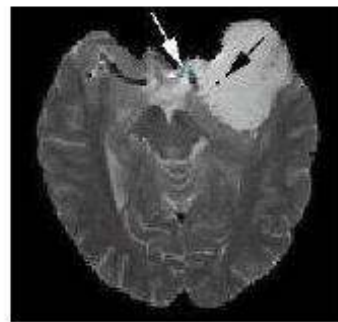


Segmentação e Geração de Contornos

ESCOLHA DAS SEMENTES



(a)



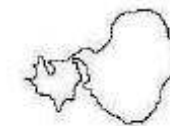
(b)



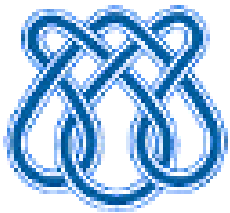
(c)



(d)

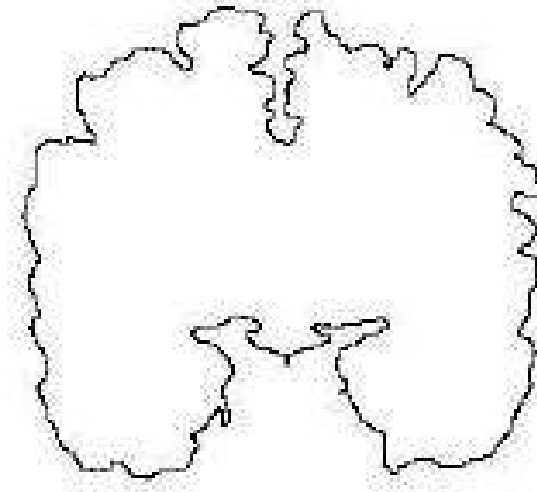
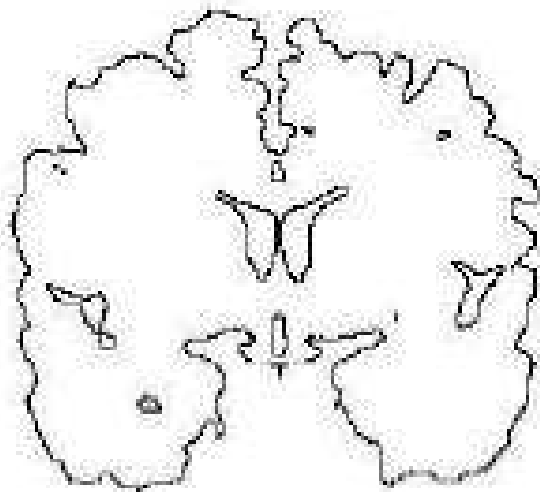


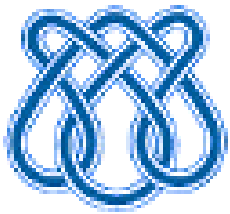
(e)



Segmentação e Geração de Contornos

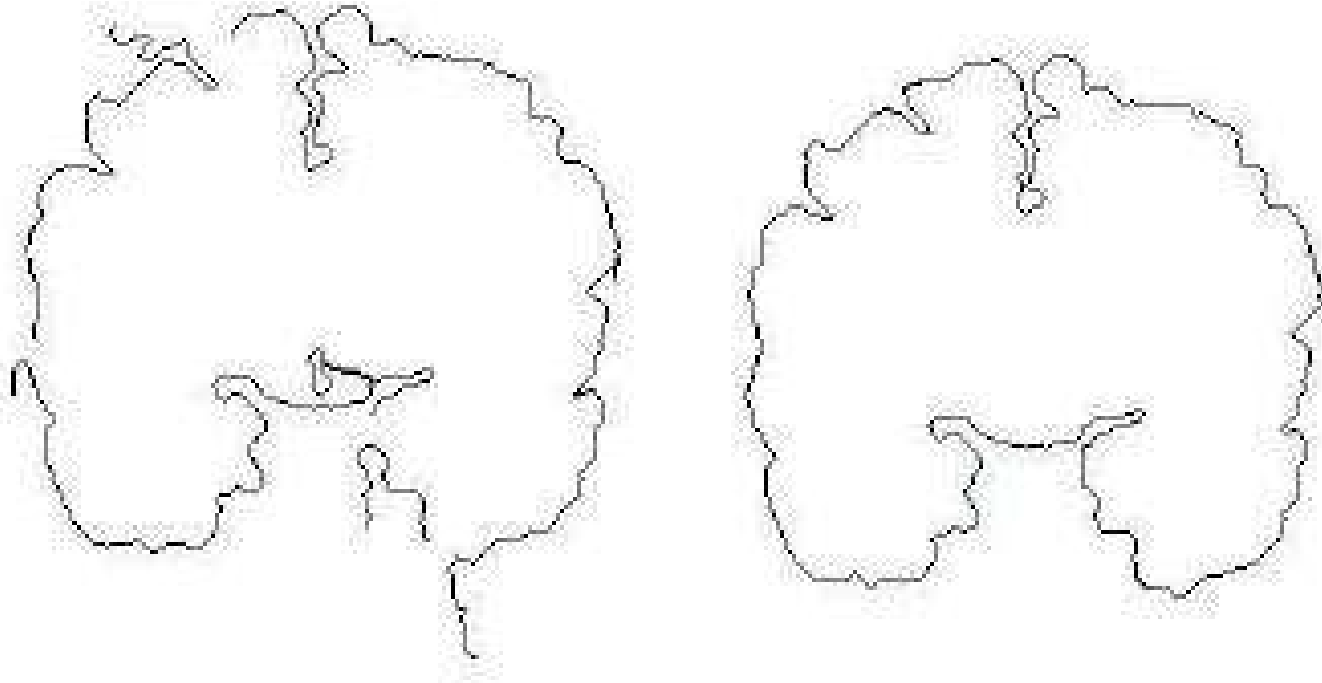
VANTAGEM DO CONTROLE TOPOLÓGICO





Segmentação e Geração de Contornos

COMPARAÇÃO COM EDGE DETECTION





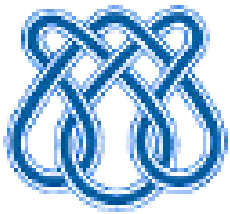
Segmentação e Geração de Contornos

COMPARAÇÃO COM EDGE DETECTION

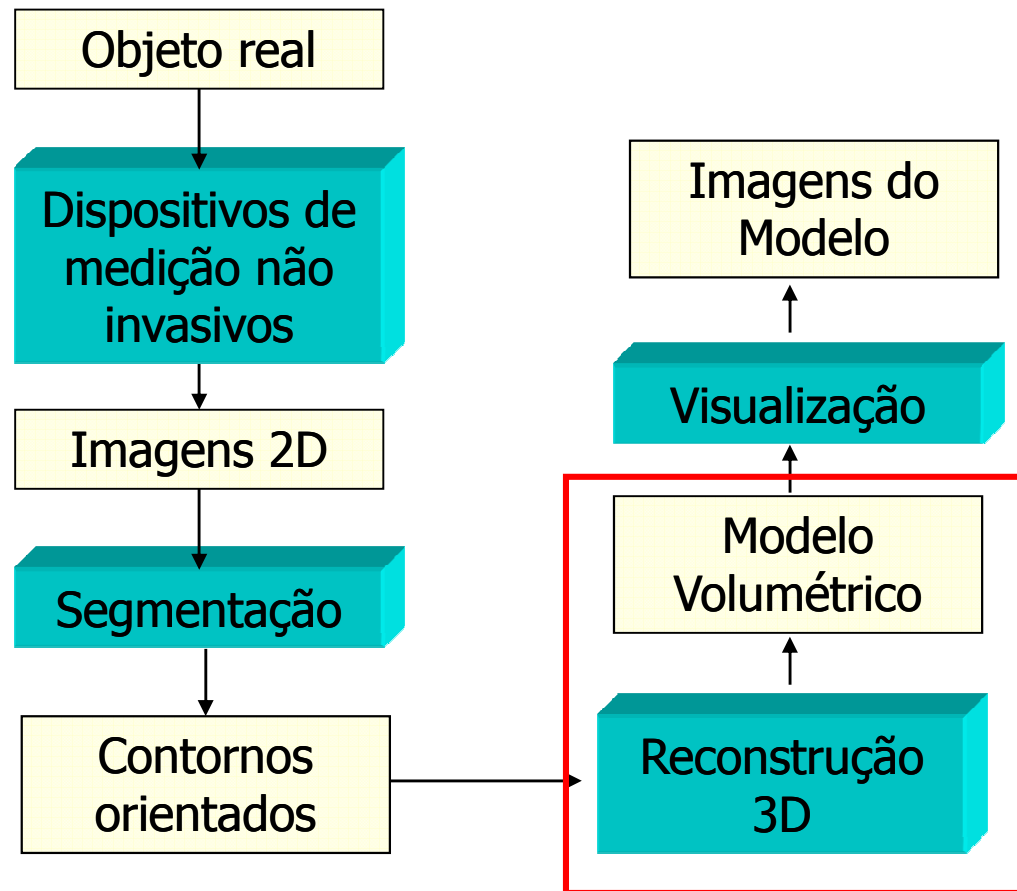
	Fig.	DPS	Edge-Detection	Clustering
Smoothing Time	22		16530ms	
	23		19950ms	
Number of Interactions	22	3	3	3
	23	2	13(4+9)	3
Time	22	520ms	20ms	2600ms
	23	520ms	62s	1700ms
Post Processing	22			870ms
	23			850ms
Total Time	22	520ms	16530ms	3470ms
	23	520ms	~1min22s	2550ms

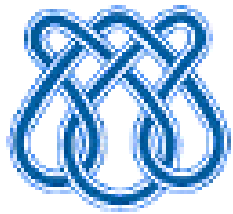
TABLE I

COMPARISON AMONG DPS, EDGE-DETECTION AND CLUSTERING SEGMENTATION METHODS

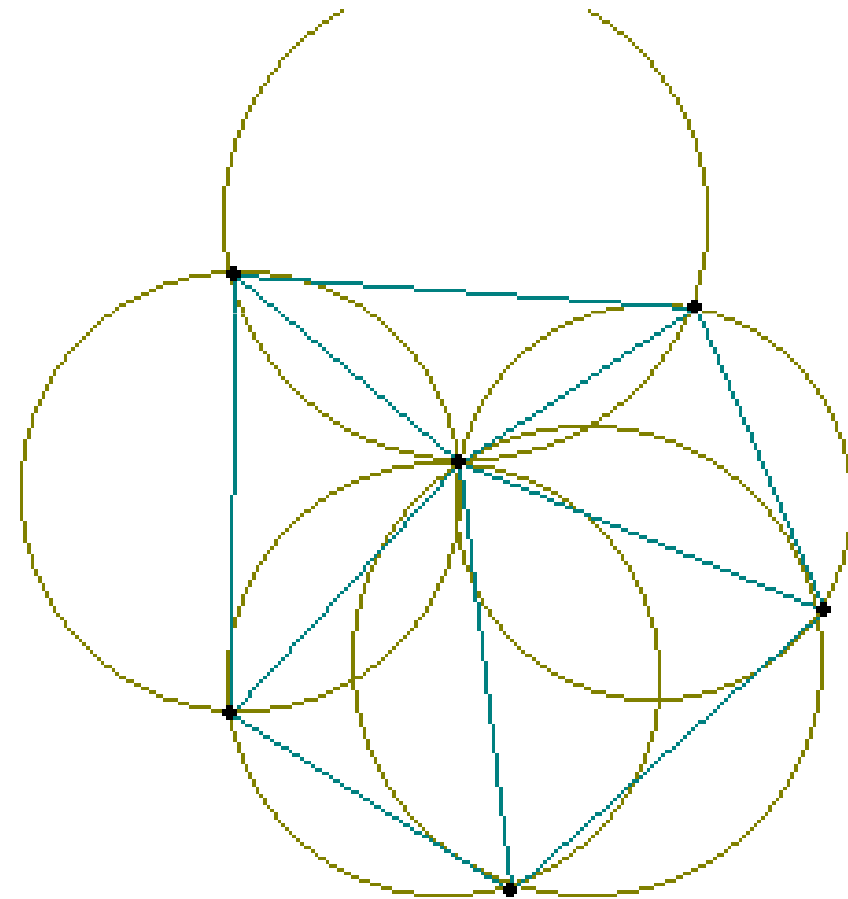
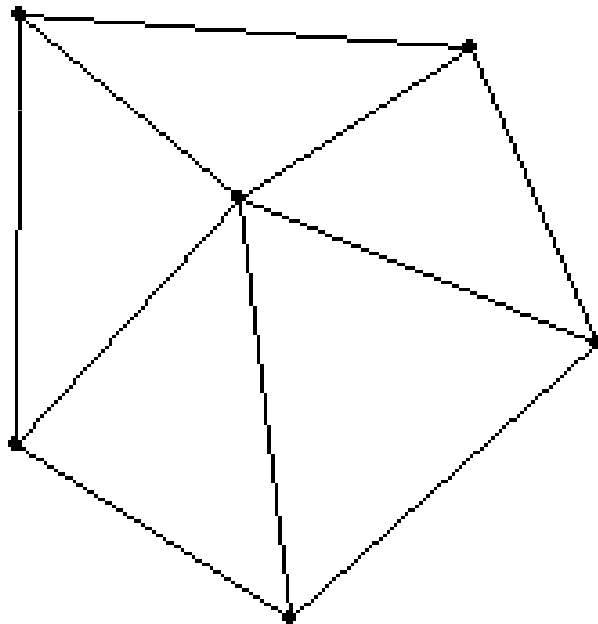


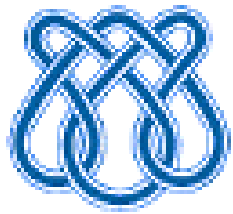
Reconstrução a partir de Seções Planares



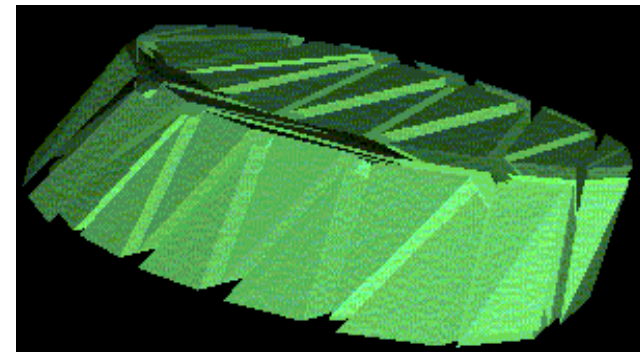
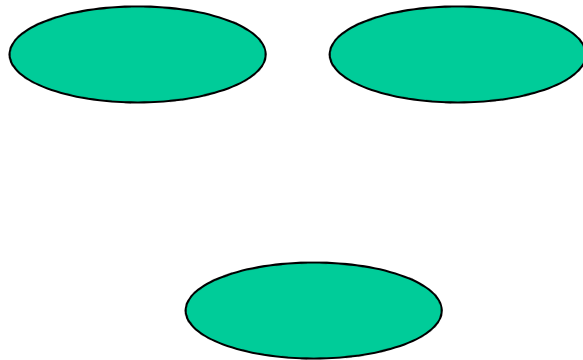


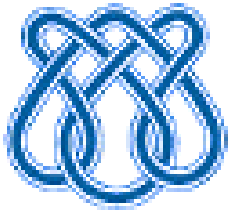
Reconstrução por Triangulação de Delaunay





Reconstrução por Triangulação de Delaunay

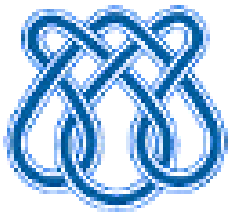




Reconstrução por Triangulação de Delaunay

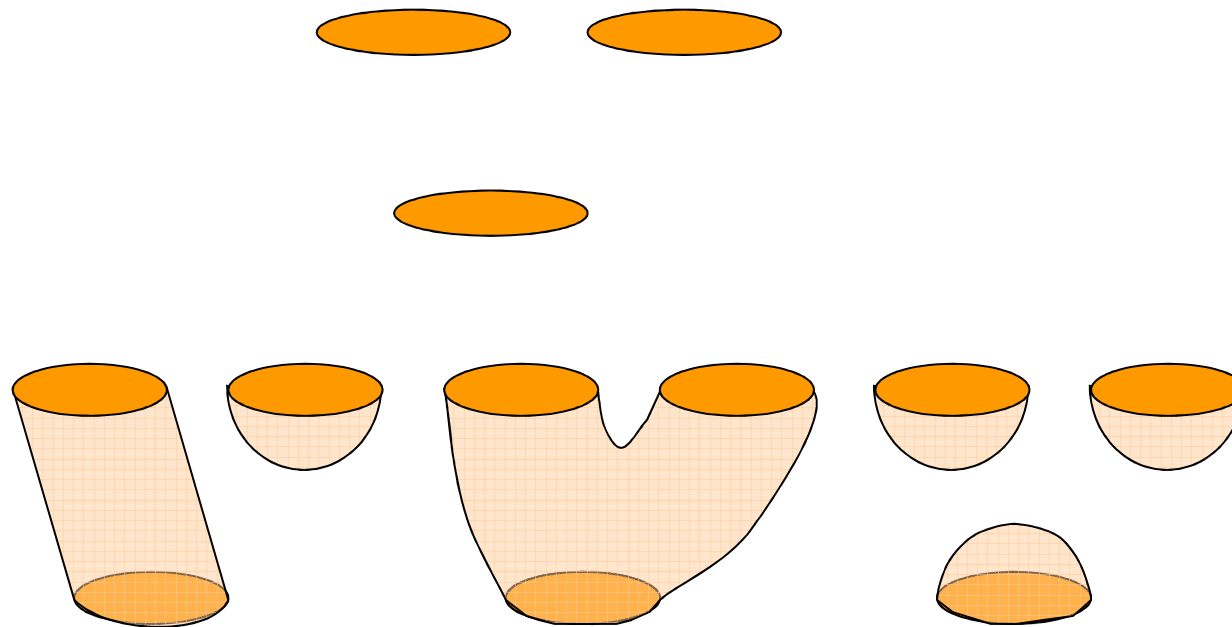
Passos do Algoritmo após a construção da Triangulação 3D:

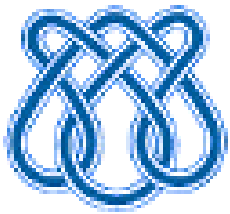
1. Decidir quais contornos devem ser conectados
2. Eliminar tetraedros entre os contornos não conectados
3. Subdividir tetraedros a fim de garantir a re-exemplificação



Reconstrução por Triangulação de Delaunay

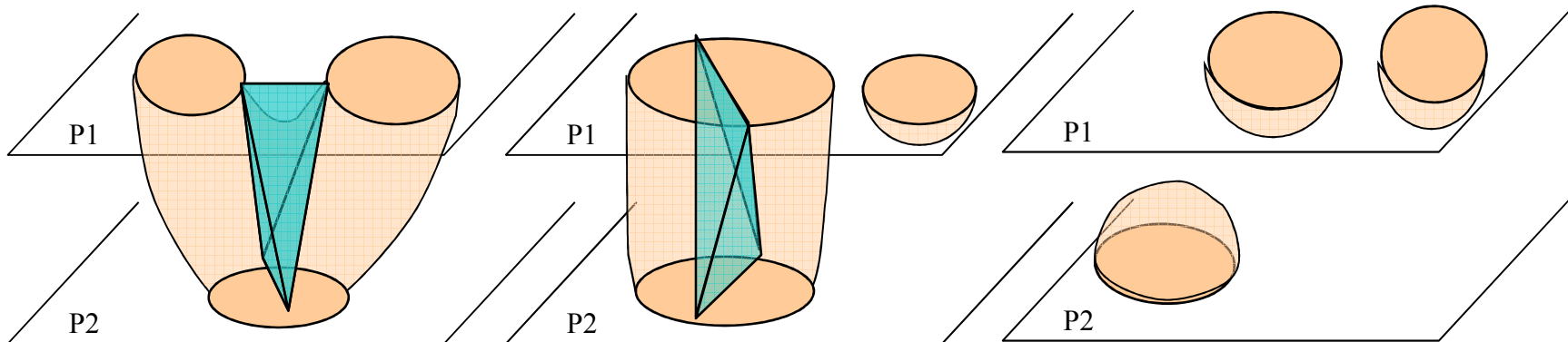
1. Decidir quais contornos devem ser conectados

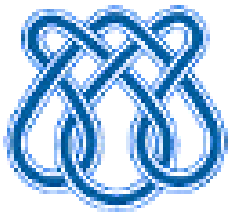




Reconstrução por Triangulação de Delaunay

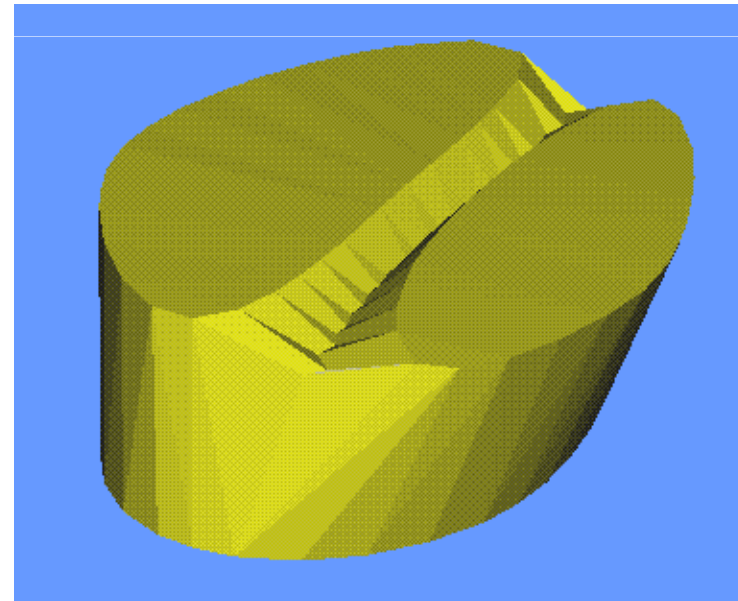
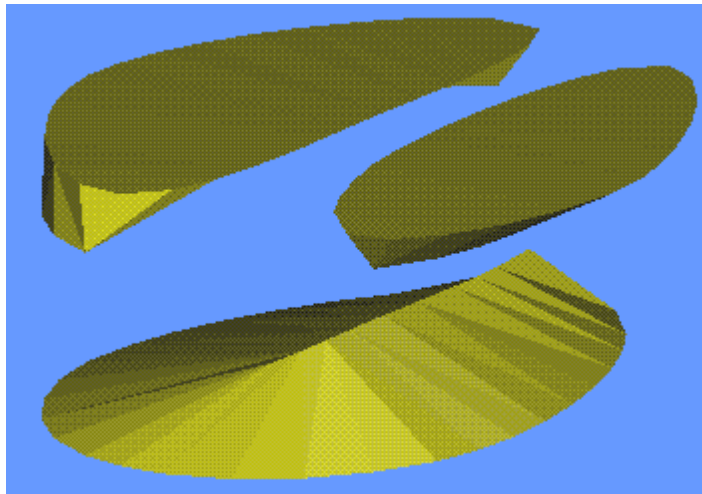
Proposição: *Dois contornos em planos adjacentes estão geometricamente bem posicionados se e somente se na triangulação de Delaunay 3D dos pontos dos contornos existe um tetraedro reverso conectando-os.*

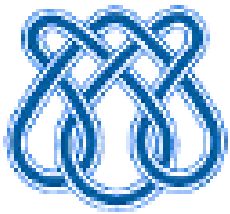




Reconstrução por Triangulação de Delaunay

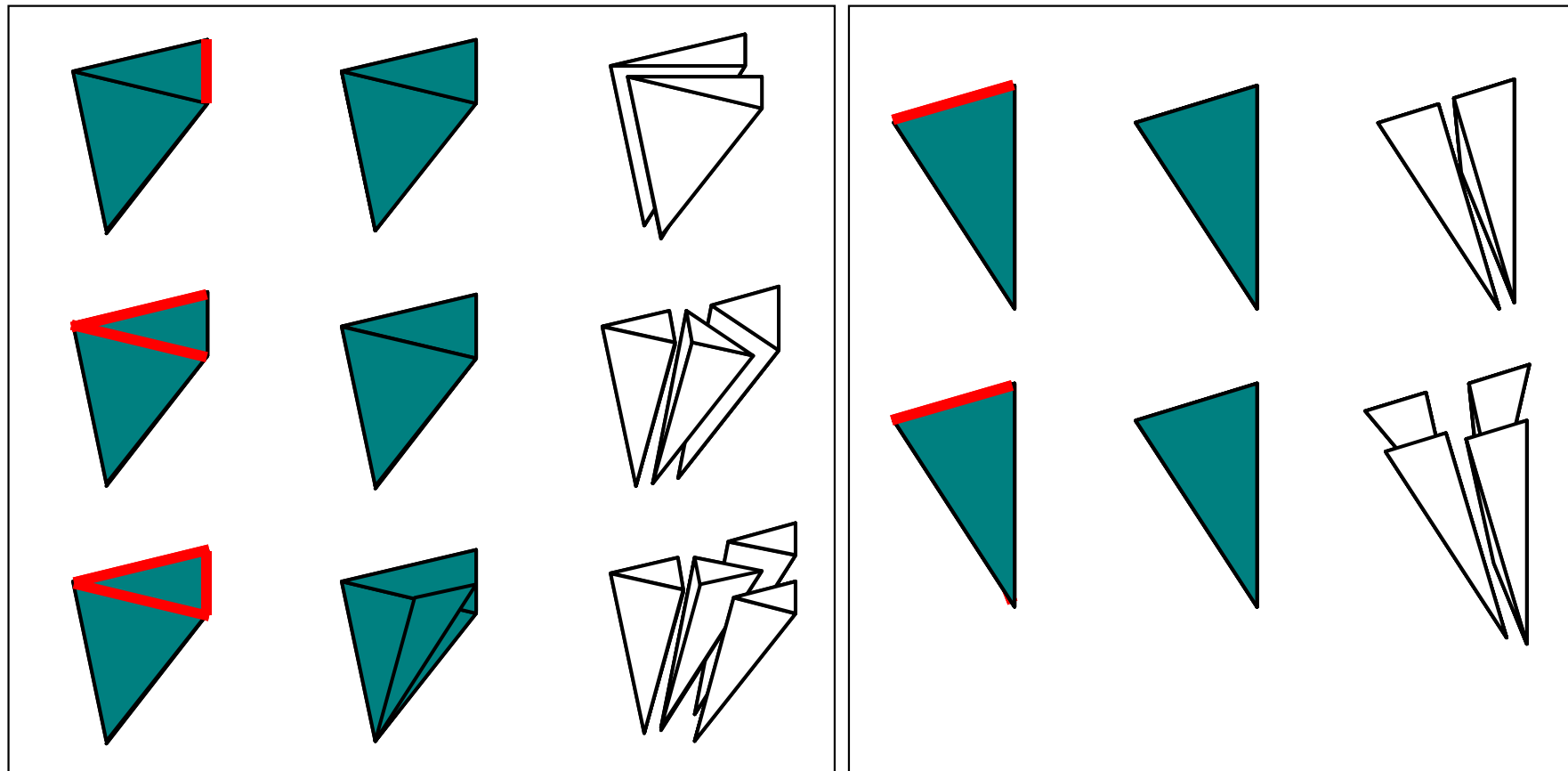
2. Eliminar tetraedros entre os contornos não conectados

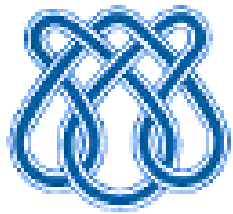




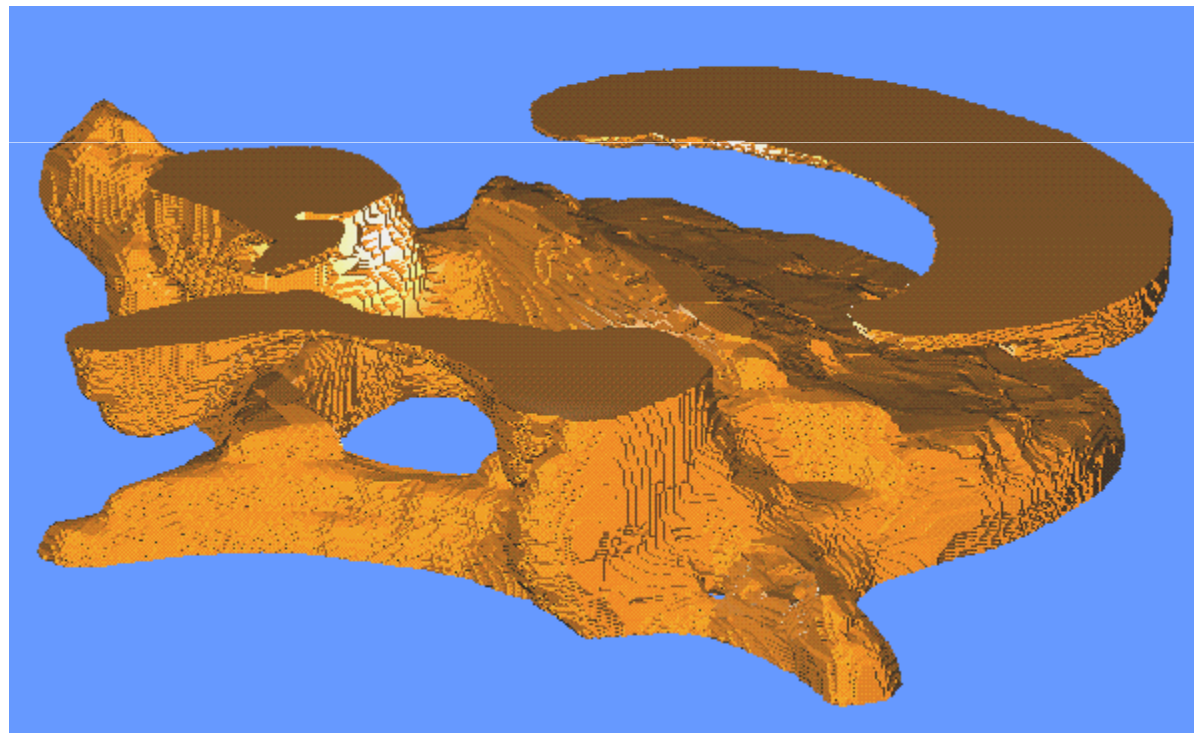
Reconstrução por Triangulação de Delaunay

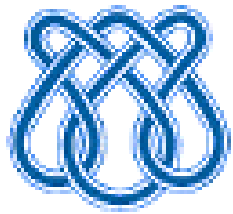
3. Subdividir tetraedros a fim de garantir a re-exemplificação



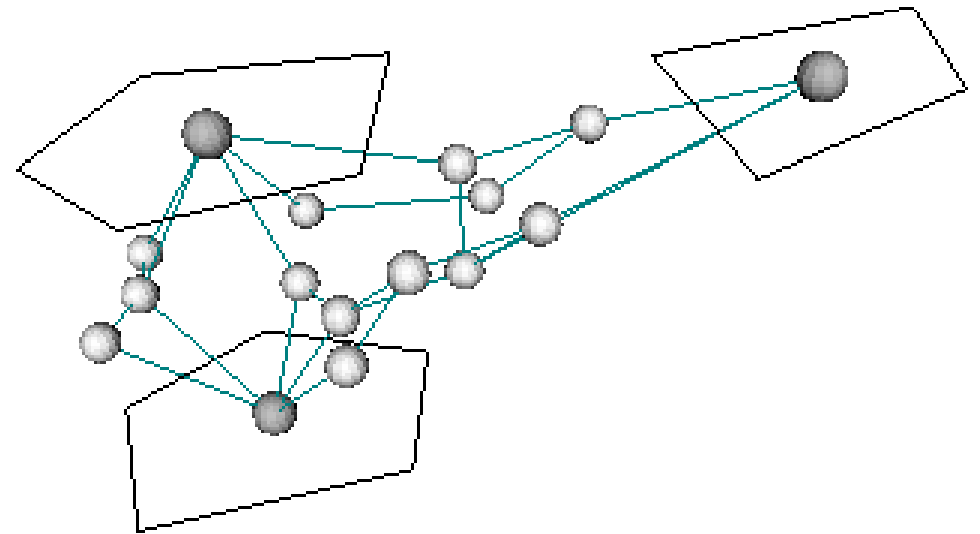
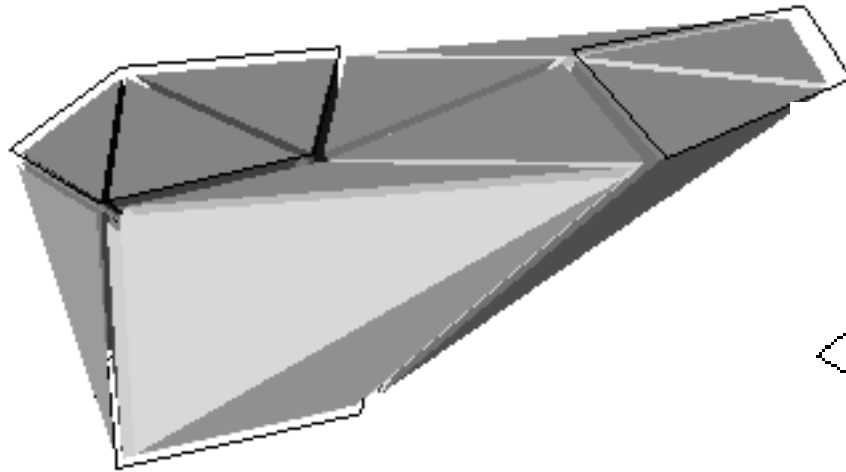


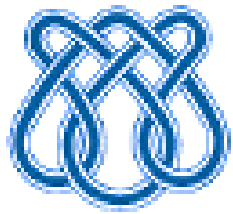
Reconstrução por Triangulação de Delaunay



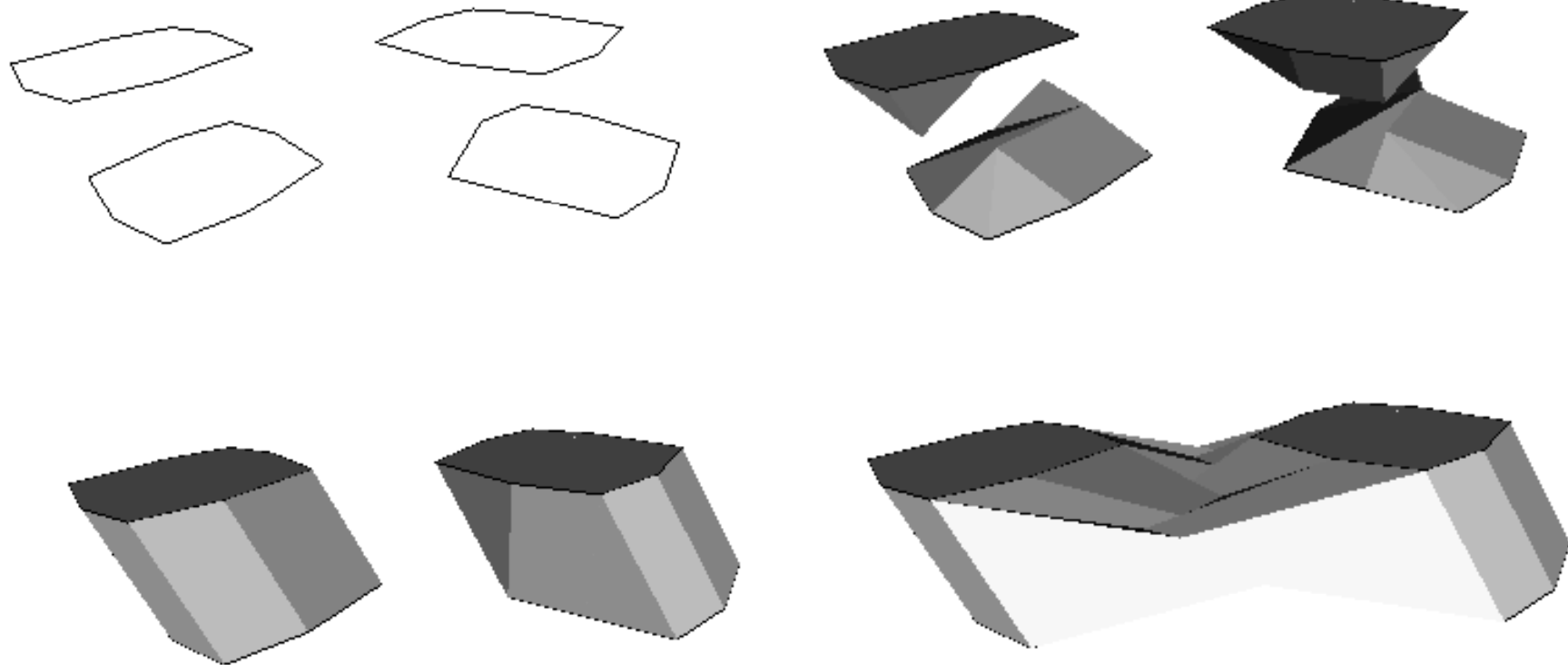


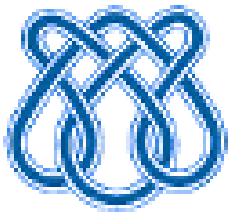
Beta-Conexão



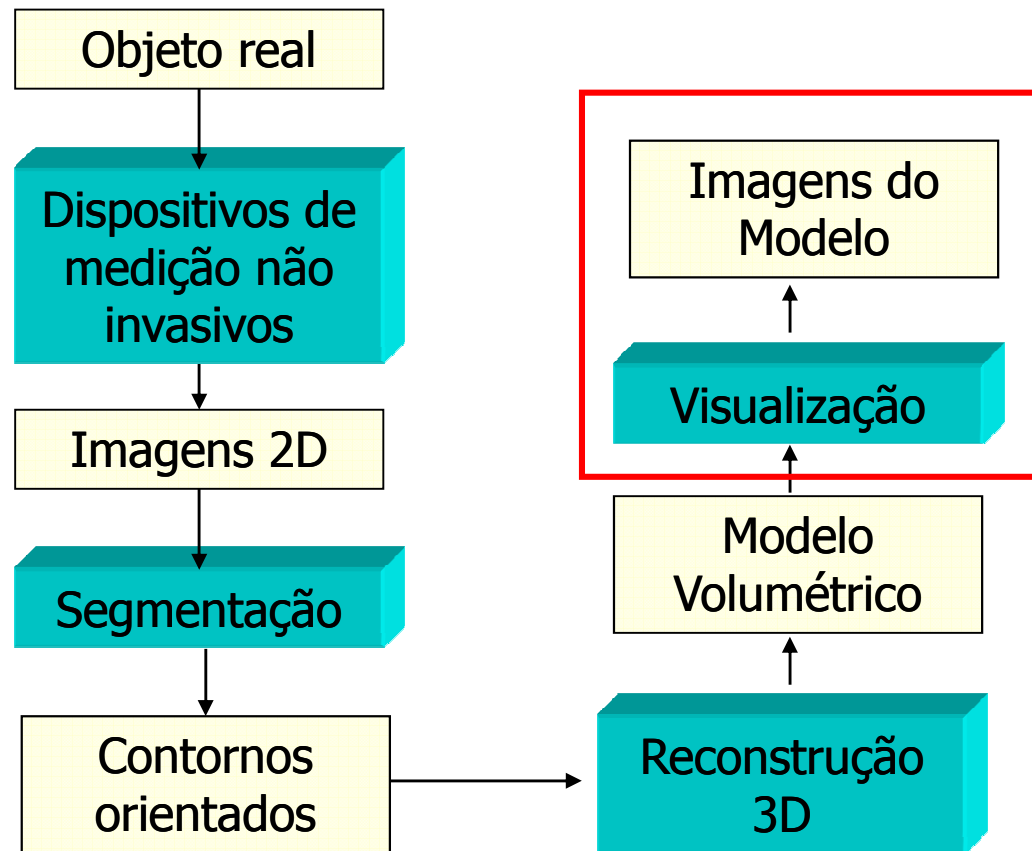


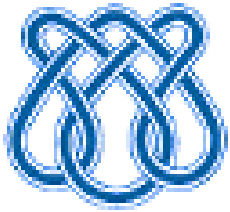
Beta-Conexão





Reconstrução a partir de Seções Planares

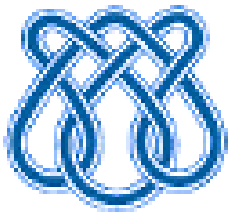




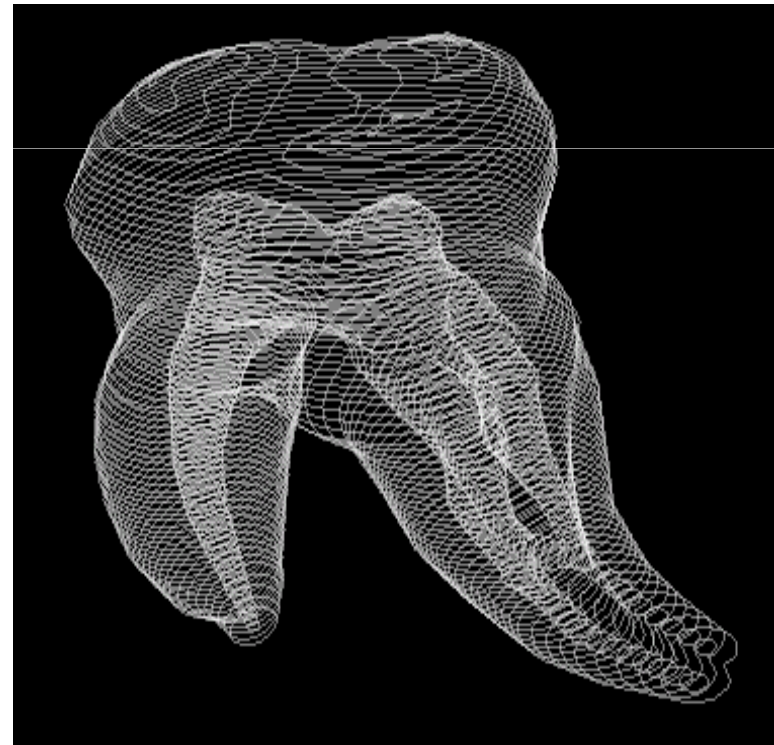
Visualização

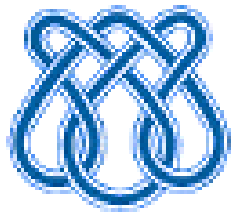
Embora os modelos sejam volumétricos, apenas os bordos são visualizados.

- Informações volumétricas podem ser perdidas
 - texturas internas
 - propriedades dos materiais

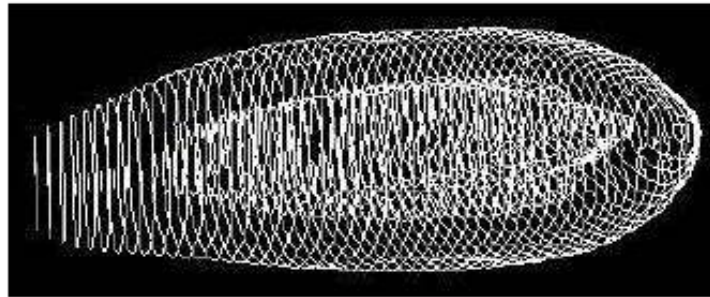


Visualização





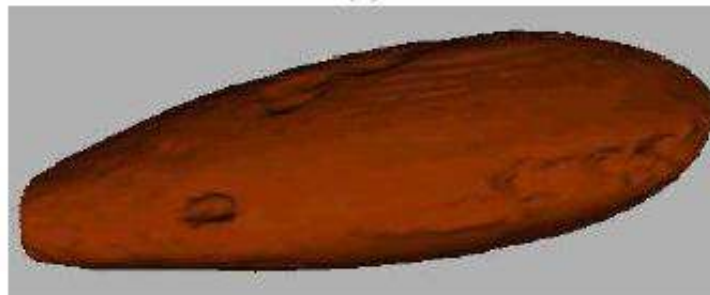
Visualização



(a)



(b)



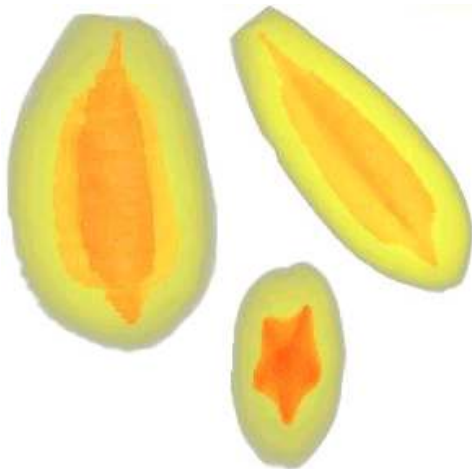


Tendências?

Visualização:

Rendering Híbrido = Superfície + Volume

Rendering Volumétrico



+

Rendering Superfície

